

НАПРЯЖЕННОЕ СОСТОЯНИЕ КЛЕЕВОГО СОЕДИНЕНИЯ. УЧЕТ МНОГОСЛОЙНОЙ СТРУКТУРЫ КОМПОЗИТА

Актуальность обобщения теории нахлесточных соединений Голанда и Рейсснера на произвольное число слоев обусловлено двумя причинами. С одной стороны, увеличение числа поверхностей склеивания в разы уменьшает нагрузку на клеевой шов и, следовательно, снижает напряжения в клее, повышая тем самым прочность соединения. С другой стороны, изучение напряженного состояния соединений слоистых композиционных материалов требует создания моделей соединений, которые учитывали бы многослойное строение композитов. Об этом говорят результаты экспериментов [1] и опыт эксплуатации, согласно которым одним из механизмов разрушения соединения является расслоение композита вдоль соединительного слоя и отрыв ближайших к клеевой прослойке слоев.

Недостаток численных подходов, основанных на дискретизации конструкции [2], состоит в том, что композиционный материал моделируется системой параллельных стержней, работающих только на растяжение-сжатие и разделенных податливыми слоями. При этом не учитываются нормальные напряжения между стержнями. В близкой по постановке модели многослойного стержня А.Р. Ржаницына [3] несущие слои рассматриваются как балки Бернулли, однако поперечные связи между ними полагаются идеально жесткими и нормальные напряжения между слоями также отсутствуют.

В работе [4] для расчета соединений предложена континуальная модель композита, согласно которой поперечные перемещения точек слоя полагаются равными нулю, т.е. слои смещаются только в продольном направлении. Задача сведена к уравнению в частных производных относительно касательных напряжений в композитном слое, которое решено с помощью метода разделения переменных. Решение имеет вид ряда Фурье по поперечной координате, а его коэффициенты представляют собой суперпозицию синуса и косинуса гиперболических от продольной координаты. Данная модель является континуальным аналогом модели соединения Фолькерсена. Недостаток этого подхода состоит в том, что вследствие равенства нулю поперечных перемещений нормальные напряжения в поперечном направлении также равны нулю, а это приводит к тому, что не выполняется закон парности касательных напряжений. Нарушение же симметрии тензора напряжений обуславливает сингулярность решения в угловых точках, т.е. расходимость решения на концах соединения, что было позже отмечено самими авторами [5]. Следовательно,

касательные напряжения в клее на концах соединения по этой методике не могут быть определены.

Модель соединения В.Ф. Кутьинова [6] занимает промежуточное положение между моделью соединения Ю.П. Артюхина [7] и моделью Фолькерсена. Согласно подходу [6] продольные элементы в соединении, как и в модели Фолькерсена, работают только на растяжение-сжатие. Причем полагается, что распределение усилий в продольных силовых элементах по длине соединения описывается одной функцией от продольной координаты для всех продольных элементов, а по толщине соединения – полагается линейная зависимость (по гипотезе плоских сечений). Распределение же нормальных напряжений в поперечном направлении в соединительных слоях, расположенных между продольными силовыми элементами, описывается линейной функцией от поперечной координаты, как и в модели [6]. Как и в модели Фолькерсена, касательные напряжения в соединительных слоях пропорциональны производным от усилий в продольных силовых элементах. Для поиска неизвестной функции распределения продольных усилий по длине соединения используется условие минимума потенциальной энергии деформации.

Целью данной работы является обобщение модели клеевого соединения Голанда и Рейсснера на произвольное число слоев, что позволит учитывать эффекты, обусловленные изгибом и поперечным перемещением несущих слоев. Данная модель строится на основе классической теории балок и упругого основания Винклера и лишена противоречий, которые присущи моделям [4, 6].

Постановка задачи. Рассмотрим многослойный стержень, состоящий из m отдельных стержней, рассматриваемых как балки Бернулли. Балки связаны соединительными слоями, работающими только на сдвиг и растяжение-сжатие в трансверсальном направлении.

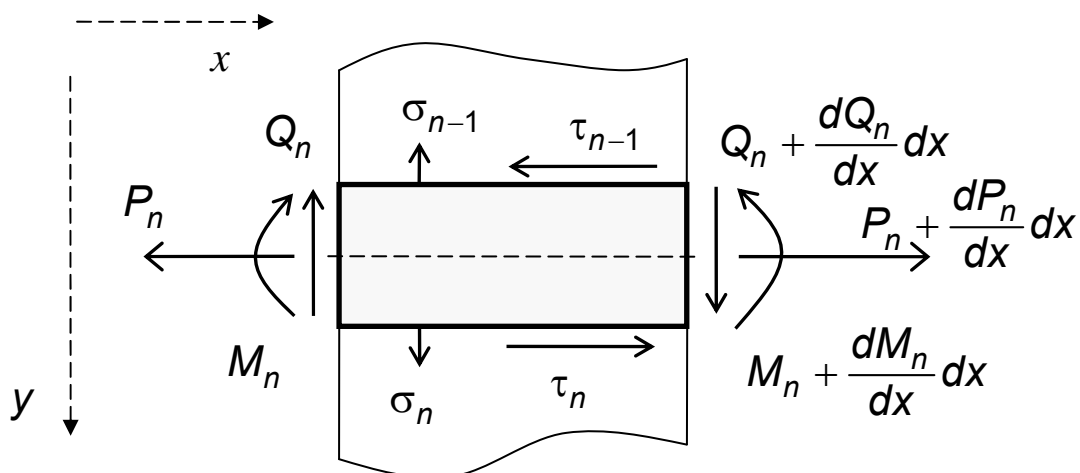


Рисунок 1 – Равновесие элементов многослойного соединения

Внешние границы стержней с номерами 1 и m полагаются свободными от распределенных нагрузок. Уравнения равновесия имеют вид

$$\begin{aligned} \frac{dN_1}{dx} + \tau_1 &= 0; \quad \frac{dN_n}{dx} - \tau_{n-1} + \tau_n = 0; \quad \frac{dN_m}{dx} - \tau_{m-1} = 0; \\ \frac{dQ_1}{dx} + \sigma_1 &= 0; \quad \frac{dQ_n}{dx} - \sigma_{n-1} + \sigma_n = 0; \quad \frac{dQ_m}{dx} - \sigma_{m-1} = 0; \\ \frac{dM_1}{dx} + s_1\tau_1 - Q_1 &= 0; \quad \frac{dM_m}{dx} + s_m\tau_{m-1} - Q_m = 0; \\ \frac{dM_n}{dx} + s_n\tau_{n-1} + s_n\tau_n - Q_n &= 0, \end{aligned} \quad (1)$$

где $n = 2, 3, \dots, m-1$; N_n, Q_n, M_n – соответственно продольные, поперечные усилия и погонный изгибающий момент в стержне; n ; τ_n, σ_n – касательные и нормальные напряжения, действующие в соединительном слое n ; s_n – половина толщины стержня n .

Касательные напряжения в соединительных слоях

$$\tau_n = \frac{1}{P_n} \left(u_{n+1} - u_n + s_n \frac{dw_n}{dx} + s_{n+1} \frac{dw_{n+1}}{dx} \right), \quad (2)$$

где P_n – податливость соединительно слоя на сдвиг, $P_n = \delta_n G_n^{-1}$; G_n – модуль сдвига соответствующего соединительного слоя; u_n, w_n – продольные и поперечные перемещения n -го стержня.

Нормальные напряжения в соединительных слоях

$$\sigma_n = K_n (w_{n+1} - w_n), \quad (3)$$

где K_n – жесткость соединительного слоя на растяжение-сжатие, $K_n = E_n^{(g)} \delta_n^{-1}$; $E_n^{(g)}$ – модуль упругости соединительного слоя; δ_n – толщина соответствующего соединительного слоя.

Уравнения механики балок

$$N_n = B_n \frac{du_n}{dx}; \quad M_n = -D_n \frac{d^2 w_n}{dx^2}; \quad (n = 1, 2, \dots, m). \quad (4)$$

Здесь B_n и D_n соответственно жесткости стержня на растяжение-

сжатие и на изгиб, $B_n = 2s_n E_n$, $D_n = \frac{(2s_n)^3}{12} E_n$; E_n – модуль упругости стержня в продольном направлении.

Система уравнений (1) - (4) может быть сведена к системе уравнений относительно перемещений, которая имеет вид

$$\mathbf{A}^{(4)} \frac{d^4 \vec{\mathbf{X}}}{dx^4} + \mathbf{A}^{(2)} \frac{d^2 \vec{\mathbf{X}}}{dx^2} + \mathbf{A}^{(1)} \frac{d \vec{\mathbf{X}}}{dx} + \mathbf{A}^{(0)} \vec{\mathbf{X}} = 0, \quad (5)$$

где $\vec{\mathbf{X}} = (u_1, w_1, u_2, w_2, \dots, u_m, w_m)^T$; $\mathbf{A}^{(4)}, \mathbf{A}^{(2)}, \mathbf{A}^{(1)}, \mathbf{A}^{(0)}$ – симметричные диагональные ($\mathbf{A}^{(4)}$) и трехдиагональные матрицы размерностью $2m \times 2m$.

$$\mathbf{A}^{(k)} = \begin{pmatrix} \mathbf{W}_{k,1} & \mathbf{V}_{k,1} & \cdot & \dots & \cdot \\ \mathbf{V}_{k,1}^T & \mathbf{W}_{k,2} & \mathbf{V}_{k,2} & \dots & \cdot \\ \cdot & \mathbf{V}_{k,2}^T & \mathbf{W}_{k,3} & \dots & \cdot \\ \dots & \dots & \dots & \dots & \mathbf{V}_{k,m-1} \\ \cdot & \cdot & \cdot & \mathbf{V}_{k,m-1}^T & \mathbf{W}_{k,m} \end{pmatrix}; \quad \mathbf{W}_{4,n} = \begin{pmatrix} 0 & 0 \\ 0 & D_n \end{pmatrix};$$

$$\mathbf{V}_{4,n} = \begin{pmatrix} 0 & 0 \\ 0 & 0 \end{pmatrix}; \quad \mathbf{W}_{2,n} = \begin{pmatrix} B_n & 0 \\ 0 & -\frac{s_n^2}{P_n} - \frac{s_n^2}{P_{n-1}} \end{pmatrix}; \quad \mathbf{V}_{2,n} = \begin{pmatrix} 0 & 0 \\ 0 & -\frac{s_n s_{n+1}}{P_n} \end{pmatrix};$$

$$\mathbf{W}_{1,n} = \begin{pmatrix} 0 & \frac{s_n}{P_n} - \frac{s_n}{P_{n-1}} \\ \frac{s_n}{P_n} - \frac{s_n}{P_{n-1}} & 0 \end{pmatrix}; \quad \mathbf{V}_{1,n} = \begin{pmatrix} 0 & \frac{s_{n+1}}{P_n} \\ -\frac{s_n}{P_n} & 0 \end{pmatrix};$$

$$\mathbf{W}_{0,n} = \begin{pmatrix} -\frac{1}{P_n} & \frac{1}{P_{n-1}} & 0 \\ 0 & K_n + K_{n-1} \end{pmatrix}; \quad \mathbf{V}_{0,n} = \begin{pmatrix} \frac{1}{P_n} & 0 \\ 0 & -K_n \end{pmatrix}.$$

Поскольку слои с номерами 0 и $m+1$ отсутствуют, то $P_0 = P_{m+1} = \infty$, $K_0 = K_{m+1} = 0$.

Частное решение системы (5) ищем в виде $\vec{\mathbf{X}} = e^{\lambda x} \vec{\mathbf{h}}$, где $\vec{\mathbf{h}}$ – некоторый вектор. Подставив частное решение в (5), получим

$$\left(\mathbf{A}^{(4)} \lambda^4 + \mathbf{A}^{(2)} \lambda^2 + \mathbf{A}^{(1)} \lambda + \mathbf{A}^{(0)} \right) \vec{\mathbf{h}} = 0. \quad (6)$$

Откуда следует характеристическое уравнение

$$\det \mathbf{A}(\lambda) = 0, \quad (7)$$

где $\mathbf{A}(\lambda) = \mathbf{A}^{(4)} \lambda^4 + \mathbf{A}^{(2)} \lambda^2 + \mathbf{A}^{(1)} \lambda + \mathbf{A}^{(0)}$.

Уравнение (7) имеет корень $\lambda = 0$ шестой кратности. Общее число ненулевых корней уравнения (9) составляет $6(m-1)$. Следовательно, общее решение системы (5) имеет вид

$$\vec{\mathbf{x}} = \begin{pmatrix} u_1 \\ w_1 \\ \dots \\ u_m \\ w_m \end{pmatrix} = \sum_{k=1}^{6(m-1)} C_k \vec{\mathbf{h}}_k e^{\lambda_k x} + \sum_{n=0}^3 x^n \vec{\mathbf{H}}_n. \quad (8)$$

Векторы $\vec{\mathbf{h}}_k$ представляют собой нетривиальные решения системы линейных уравнений

$$\mathbf{A}(\lambda_k) \vec{\mathbf{h}}_k = 0.$$

Вектор $\vec{\mathbf{h}}_k$ определяется с точностью до произвольного множителя C_k , поскольку дефект матрицы $\mathbf{A}(\lambda_k)$ при всех корнях $\lambda_k \neq 0$ равен единице. Векторы $\vec{\mathbf{H}}_n$ содержат шесть констант интегрирования S_1, \dots, S_6 и могут быть представлены, например, в следующей форме:

$$\begin{aligned} \vec{\mathbf{H}}_3 &= S_1 \vec{\mathbf{l}}_1, \quad \vec{\mathbf{H}}_2 = S_2 \vec{\mathbf{l}}_1 + 3S_1 \vec{\mathbf{v}}_2, \quad \vec{\mathbf{H}}_1 = S_3 \vec{\mathbf{l}}_2 + S_4 \vec{\mathbf{l}}_1 - 2S_2 \vec{\mathbf{v}}_1, \\ \vec{\mathbf{H}}_0 &= S_5 \vec{\mathbf{l}}_2 + S_6 \vec{\mathbf{l}}_1 - 6S_1 \vec{\mathbf{v}}_0 - S_4 \vec{\mathbf{v}}_1, \end{aligned}$$

где соответственно

$$\begin{aligned} \vec{\mathbf{l}}_1 &= (0, 1, 0, 1, 0, \dots, 1)^T; \quad \vec{\mathbf{l}}_2 = (1, 0, 1, 0, 1, \dots, 0)^T; \\ R_{i,j} &= -s_i - s_j + 2 \sum_{k=j}^i s_k, \quad (i > j), \quad \varphi_{i,j} = \begin{cases} R_{i,j} B_j, & i > j; \\ -R_{j-1,i} B_{j-1}, & i \leq j; \end{cases} \\ \xi_j &= \sum_{k=2}^m \varphi_{j,k}, \quad \psi_i = \sum_{k=1}^i \sum_{j=i+1}^m R_{k,j} B_k B_j; \quad \theta_i = \sum_{k=1}^i P_k \psi_k; \quad \beta = \sum_{k=1}^m B_k; \\ \vec{\mathbf{v}}_2 &= \frac{1}{\beta} (\xi_1 \ 0, \ \xi_2 \ 0, \ \dots, \ \xi_m, \ 0)^T; \\ \vec{\mathbf{v}}_1 &= (0, \ 0, \ R_{1,2}, \ 0, \ R_{1,3}, \ 0, \ \dots, \ R_{1,m}, \ 0)^T; \\ \vec{\mathbf{v}}_0 &= \frac{1}{\beta} (0, \ 0, \ \theta_1, \ 0, \ \theta_2, \ 0, \ \dots, \ \theta_{m-1}, \ 0)^T. \end{aligned}$$

Константы C_k ($k = 1, 2, \dots, 6(m-1)$) и S_1, S_2, \dots, S_6 определяются из $6m$ краевых условий. На каждом из двух концов отдельного стержня заданы три краевых условия: продольное перемещение или продольное

усилие; поперечное перемещение, угол поворота, изгибающий момент или поперечная сила. Удовлетворение краевым условиям приводит к системе линейных уравнений относительно перечисленных констант.

Частным случаем данной модели является обобщенная модель Фолькерсена, согласно которой продольные силовые элементы работают только на растяжение-сжатие и поперечные перемещения отсутствуют, т.е. $w_n = 0$. Следовательно, в субматрицах \mathbf{W} и \mathbf{V} необходимо положить $s_n = D_n = K_n = 0$. В результате $\mathbf{A}^{(4)} = \mathbf{A}^{(1)} = 0$, а из матриц $\mathbf{A}^{(2)}, \mathbf{A}^{(0)}$ исключаются четные строки. Тогда

$$\mathbf{A}^{(2)} \frac{d^2 \vec{\mathbf{X}}}{dx^2} + \mathbf{A}^{(0)} \vec{\mathbf{X}} = 0, \quad (9)$$

где $\vec{\mathbf{X}} = (u_1, u_2, \dots, u_m)^T$; $\mathbf{A}^{(2)}, \mathbf{A}^{(0)}$ – симметричные матрицы размерностью $m \times m$;

$$\mathbf{A}^{(0)} = \begin{pmatrix} -g_1 & g_1 & 0 & \dots & 0 \\ g & -g_1 - g_2 & g_2 & \dots & 0 \\ 0 & g_2 & -g_2 - g_3 & \dots & 0 \\ \dots & \dots & \dots & \dots & \dots \\ 0 & 0 & 0 & \dots & -g_m \end{pmatrix}, \quad \mathbf{A}^{(2)} = \text{diag}\{B_1, \dots, B_m\};$$

$$g_n = P_n^{-1},$$

где $g_0 = g_{m+1} = 0$. Частное решение системы (9) ищем в виде $\vec{\mathbf{X}} = e^{\lambda x} \vec{\mathbf{h}}$, где $\vec{\mathbf{h}}$ – некоторый вектор. В результате получим

$$\left(\mathbf{A}^{(2)} \lambda^2 + \mathbf{A}^{(0)} \right) \vec{\mathbf{h}} = 0. \quad (10)$$

Откуда следует характеристическое уравнение

$$\det \mathbf{A}(\lambda) = 0, \quad (11)$$

где $\mathbf{A}(\lambda) = \mathbf{A}^{(2)} \lambda^2 + \mathbf{A}^{(0)}$.

Уравнение (11) имеет корень $\lambda = 0$ второй кратности. Общее число ненулевых корней уравнения (11) составляет $2(m-1)$. Следовательно, общее решение системы (9) имеет вид

$$\vec{\mathbf{X}} = (u_1, u_2, \dots, u_m)^T = \sum_{k=1}^{2(m-1)} C_k \vec{\mathbf{h}}_k e^{\lambda_k x} + \sum_{n=0}^1 x^n \vec{\mathbf{H}}_n. \quad (12)$$

Векторы $\vec{\mathbf{h}}_k$ представляют собой нетривиальные решения системы линейных уравнений

$$\mathbf{A}(\lambda_k) \vec{\mathbf{h}}_k = 0.$$

Вектор \vec{h}_k определяется с точностью до произвольного множителя C_k , поскольку дефект матрицы $\mathbf{A}(\lambda_k)$ при всех корнях $\lambda_k \neq 0$ равен единице.

Векторы \vec{H}_n содержат две константы интегрирования S_1, S_2 :

$$\vec{H}_0 = S_0 \vec{1}, \vec{H}_1 = S_1 \vec{1}, \text{ где } \vec{1} = (1, 1, 1, \dots, 1)^T;$$

Константы $C_k, k = 1, 2, \dots, 2(m-1)$ и S_0, S_2 определяются из $2m$ краевых условий: продольное перемещение или продольное усилие на концах стержня. Удовлетворение краевым условиям приводит к системе линейных уравнений относительно перечисленных констант.

Численный пример. Рассмотрим клеевое соединение многослойного композита с металлической законцовкой. Многослойный композит будем рассматривать согласно изложенной выше модели, а законцовку – как однородную балку. Металл имеет относительно высокий модуль межслойного сдвига, и модель однородной балки хорошо описывает напряженное состояние металлической законцовки. Для определенности будем считать, что композитный стержень, выполненный из углепластика, состоит из шести слоев, а законцовка изготовлена из алюминия. Схема соединения изображена на рис. 2. Начало координат поместим на границе области склейки.

Очевидно, что если длина L_1 намного превышает толщину многослойного стержня, то различия в краевых условиях отдельных стержней на конце $x = L_1$ не оказывают влияния на напряженное состояние соединения, поскольку локальные неоднородности напряженного состояния быстро (экспоненциально) убывают при удалении от конца стержня.

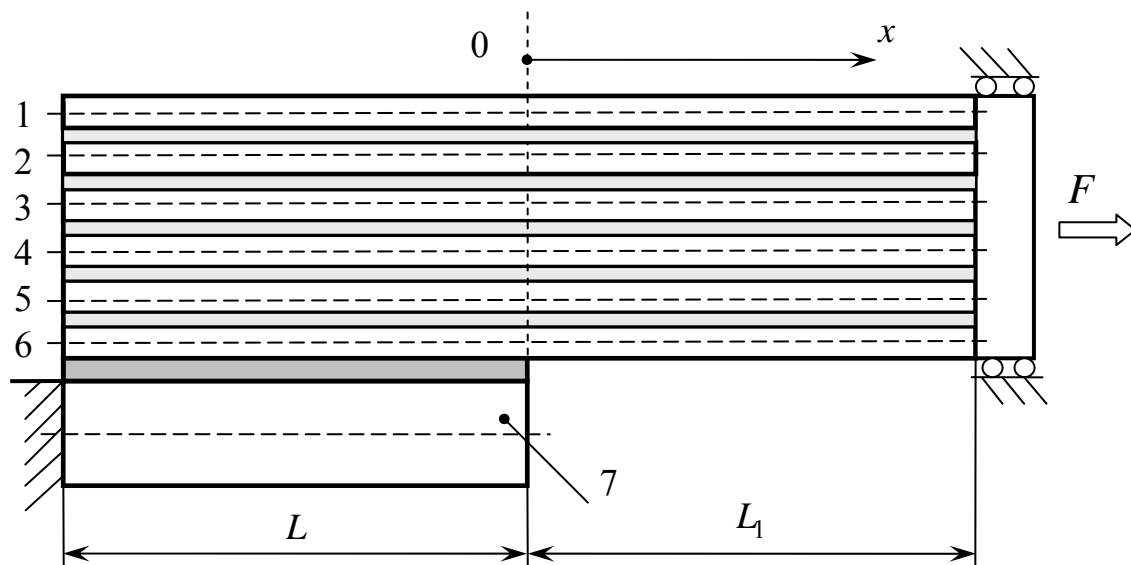


Рисунок 2 – Схема соединения

На участке $x \in (0, L_1)$ задача решается для 6 слоев, а на участке склейки – для 7 слоев.

Перемещения и усилия в монослоях композита за пределами склейки ($x \in [0; L_1]$) обозначим $u_n, w_n, N_n, Q_n, M_n, (n = 1, \dots, 6)$, а внутри области склейки ($x \in [-L; 0]$) – $\bar{u}_n, \bar{w}_n, \bar{N}_n, \bar{Q}_n, \bar{M}_n (n = 1, \dots, 6)$ и для законцовки – $\bar{u}_7, \bar{w}_7, \bar{N}_7, \bar{Q}_7, \bar{M}_7$. Краевые условия имеют вид

$$\begin{aligned} \bar{N}_n(-L) = \bar{M}_n(-L) = \bar{Q}_n(-L) = 0; \\ \bar{u}_7(-L) = \bar{w}_7(-L) = \left. \frac{d\bar{w}_7}{dx} \right|_{x=-L} = 0; \bar{N}_7(0) = \bar{M}_7(0) = \bar{Q}_7(0) = 0; \\ \bar{u}_n(0) = u_n(0); \bar{w}_n(0) = w_n(0); \bar{N}_n(0) = N_n(0); N_n(L_1) = F_n; \\ \bar{M}_n(0) = M_n(0); \bar{Q}_n(0) = Q_n(0); w_n(L_1) = \left. \frac{dw_n}{dx} \right|_{x=L_1} = 0. \end{aligned}$$

Длины участков $L = 25$ мм и $L_1 = 100$ мм. Параметры всех элементов соединения приведены в таблице.

Таблица – Параметры элементов соединения

n	$s_n, [\text{мм}]$	$E_n, [\text{ГПа}]$	$\delta_n, [\text{мм}]$	$G_n, [\text{ГПа}]$	$E_n^{(g)}, [\text{ГПа}]$
1	0,125	210	0,1	1,5	4,35
2	0,125	210	0,1	1,5	4,35
3	0,125	210	0,1	1,5	4,35
4	0,125	210	0,1	1,5	4,35
5	0,125	210	0,1	1,5	4,35
6	0,125	210	0,25	0,9	2,65
7	1,5	72	–	–	–

Будем считать, что соединение нагружено продольным растягивающим усилием $F = 1$ Н/м. Следовательно, к каждому монослою композита приложено продольное усилие $F_n = \frac{1}{6}$ Н/м.

Касательные напряжения в соединительных слоях композита в окрестности соединения и в клеевом слое показаны на рис. 3.

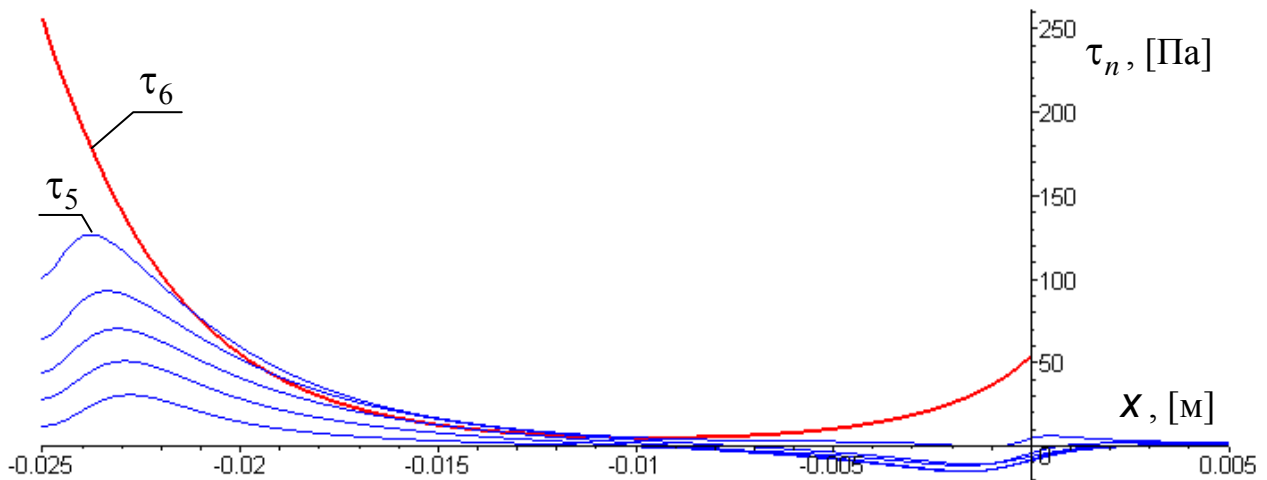


Рисунок 3 – Касательные напряжения в соединительных слоях

Из приведенного графика видно, что касательные напряжения максимальны у левого края соединения, в окрестности заделки. Более подробно распределение касательных напряжений в этой области иллюстрирует рис. 4.

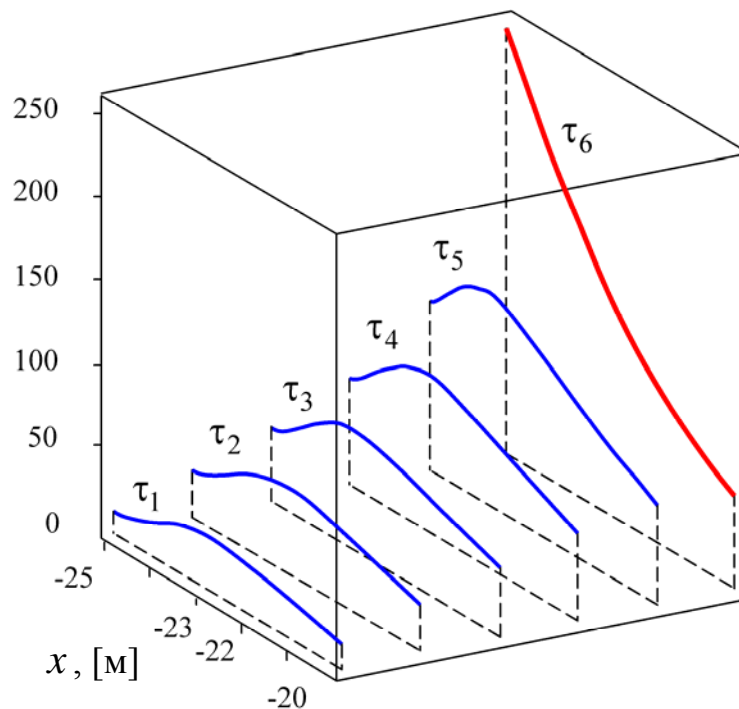


Рисунок 4 – Касательные напряжения в окрестности заделки

Из графиков видно, что в области, расположенной приблизительно в пределах $x \in (-0,02; -0,01)$, касательные напряжения в глубине слоя композита (τ_5) превосходят по величине напряжения в клее, что согласуется с результатами работы [4]. Однако у концов соединения касательные напряжения в клее, как и следует этого ожидать, превосходят напряжения внутри композитного слоя.

Нормальные напряжения в трансверсальном направлении в соединительных слоях также имеют максимумы в окрестности концов соединения, тогда как на большей части соединения данные напряжения близки к нулю. Графики нормальных напряжений в окрестности заделки показаны на рис. 5. Именно в этой области напряжения достигают максимума и в несколько раз превосходят напряжения у другого конца соединения.

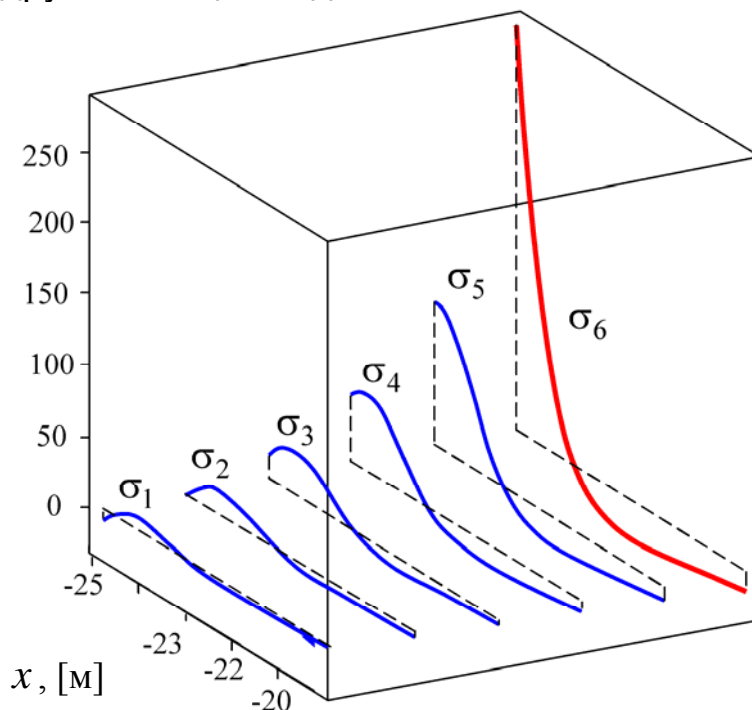


Рисунок 5 – Нормальные напряжения в окрестности заделки

Из графиков видно, что напряжения в ближайшем к клеевому слою соединительном слое многослойного стержня (τ_5 и σ_5) хоть и уступают по величине напряжениям в клее, однако относительно велики. Поэтому в случае низкой межслойной прочности многослойного композита разрушение соединения может произойти в форме расслоения композита по данному соединительному слою.

Верификацию предложенной методики можно провести, сравнив результаты счета с расчетом напряженного состояния соединения по классической модели Голанда и Рейснера. В этом случае композитный стержень полагается однородным, а его модуль упругости вычисляется по правилу смесей с использованием данных табл. 1. Вычисления показали, что напряжения в клеевом слое, рассчитанные по предложенному подходу, отличаются от рассчитанных по классической модели Голанда и Рейснера всего на несколько процентов. Распределение касательных напряжений по толщине соединяемых деталей в однородном стержне имеет квадратичную зависимость [8, 9] (обобщение формулы Журавского), весьма близкую к линейной, и заметно отличается от результатов, представленных на рис. 5. Однако

распределение по толщине нормальных напряжений в трансверсальном направлении, если полагать композитный стержень однородным, не может быть определено в силу гипотез, лежащих в основе теории балок.

Чтобы оценить влияние прогиба на напряженное состояние соединения, проведем расчет напряженного состояния соединения, используя модель Фолькерсена (9) - (12) и указанные выше параметры модельной задачи. На рис. 6 показаны графики касательных напряжений в соединительных слоях

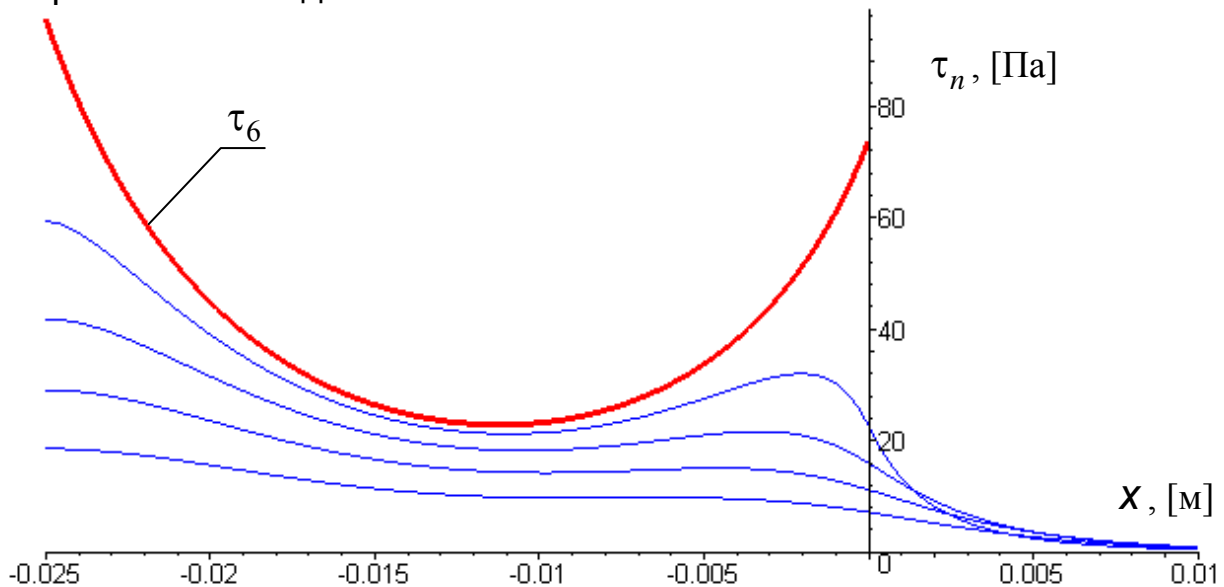


Рисунок 6 – Касательные напряжения в соединительных слоях

Сравнение рис. 3 и 6 показывает, что влияние прогиба на напряженное состояние соединения в данном случае весьма велико и максимальные напряжения, рассчитанные по обеим методикам, отличаются более чем в два раза.

Выводы. Модель клеевого соединения Голанда и Рейсснера обобщена на произвольное число соединяемых слоев. Полученная методика использована для анализа напряженного состояния соединения, состоящего из стержня, выполненного из слоистого композиционного материала и металлической законцовки. Отмечено, что разрушение соединения может происходить в форме расслоения композиционного материала по соединительным слоям, ближайшим к клеевому слою.

Предложенный подход не чувствителен к отношению толщины пакета к длине соединения, в отличие от классической балочной теории.

Данный подход может быть использован для расчета соединений элементов конструкций из слоистых композитов со ступенчатым изменением толщины соединения, соединений с продольными силовыми элементами и для расчета многосрезных соединений с произвольным числом клеевых слоев. В модель могут быть также включены температурные напряжения.

Список использованных источников

1. Galliot, C. Drop weight tensile impact testing of adhesively bonded carbon/epoxy laminate joints [Текст] / C.Galliot, J.Rousseau, G.Verchery // Int. J. of Adhesion & Adhesives. – 2012, V.35, pp.68–75.
2. Карпов, Я.С. Соединения деталей и агрегатов из композиционных материалов [Текст] / Я.С. Карпов. – Х.: Нац. аэрокосм. ун-т “Харьк. авиац. ин-т”, 2006. – 359 с.
3. Ржаницын, А.Р. Составные стержни и пластины [Текст] / А.Р. Ржаницын – М.: Стройиздат, 1986. – 316 с.
4. Васильев, В.В. Исследования напряженного состояния клеевого соединения композиционного материала с металлическим листом [Текст] / В.В. Васильев, Ю.В. Боков / Проектирование, расчет и испытания конструкций из композиционных материалов. – М.: ЦАГИ, 1979. – Вып. 7. – С. 4–10.
5. Васильев, В.В. Симметрия тензора напряжений и сингулярные решения в теории упругости [Текст] // Изв. РАН. МТТ. – 2010. – № 2. – С. 62-72.
6. Кутьинов, В.Ф. Расчет клеевых соединений [Текст] / В.Ф. Кутьинов // Проектирование, расчет и испытания конструкций из композиционных материалов. – М.: ЦАГИ, 1979. - Вып. 7. – С. 14 – 30.
7. Артюхин Ю. П. Модифицированная теория Голанда-Рейсснера склеенных пластин // Исслед. по теор. пластин и оболочек. – 11, Казань: Изд-во Казанского ун-та, 1975, – С. 136–148.
8. Zhao, B.A Two-Dimensional Approach of Single-Lap Adhesive Bonded Joints [Текст] / B. Zhao, Z-H. Lu // Mechanics of Advanced Materials and Structures. – 2009, V.16, Pp. 130–159.
9. Zhao, B., Lu Z-H., Lu Y-N, Closed-form solutions for elastic stress-strain analysis in unbalanced adhesive single-lap joints considering adherend deformations and bond thickness // Int. J. of Adhesion & Adhesives. – 2011, V. 31, Pp. 434–445.

Поступила в редакцию 28.02.2014.

*Рецензент: д-р физ.-мат. наук, проф. А. Г. Николаев,
Национальный аэрокосмический университет
им. Н. Е. Жуковского «ХАИ», г. Харьков.*